

Т. Т. Кучеренко, А. В. Задорожний, В. А. Ковтуненко

### ПОЗИЦИОННО ИЗОМЕРНЫЕ ТИЕНОПИРИМИДИНОНЫ

Конденсацией *o*-цианометилбензойной кислоты с эфирами 2-аминотиофен-3-карбоновой и 3-аминотиофен-2-карбоновой кислот получены изомерные 2-(4-оксо-3,4-дигидротиено[2,3-*d*]- и -[3,2-*d*]пиридин-2-илметил)бензойные кислоты и их этиловые и фенациловые эфиры. Метилирование эфиров проходит по атому N-3. Проведено сравнение спектральных характеристик позиционных изомеров на уровне карбоновых кислот, их эфиров и метилированных продуктов.

**Ключевые слова:** 4-оксопирииминоны, тиенопирииминоны, тиофены.

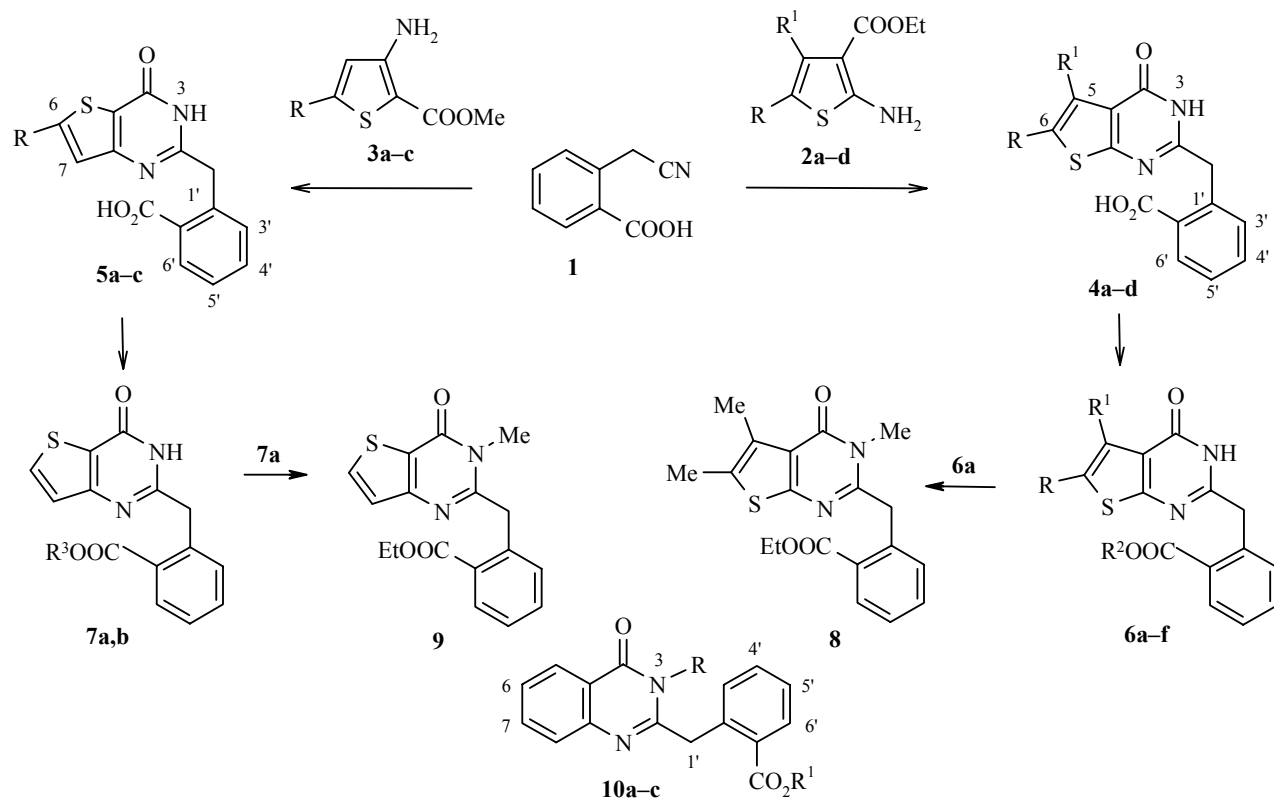
Ранее нами было показано, что при взаимодействии *o*-цианометилбензойной кислоты (**1**) с антраниловой [1] и N-метилантраниловой [2] кислотами образуются производные 4-оксо-2-хиназолинилметилбензойной кислоты. Продолжая исследования в этом направлении, мы использовали в конденсации с кислотой **1** иные производные вицинальных енаминокислот – эфиры изомерных аминокислот тиофенового ряда.

Было установлено, что кипячение раствора в хлорбензоле кислоты **1** с 2 экв. эфиров тиофеновых аминокислот **2** и **3** уже через 10 мин дает с выходом не ниже 70% производные тиенопирииминонов **4** и **5** (табл. 1).

При взаимодействии эквивалентных количеств реагирующих веществ выходы целевых продуктов снижаются вдвое. Строение продуктов реакции как производных 2-(4-оксо-3,4-дигидротиено[2,3-*d*]- и -[3,2-*d*]пиридин-2-илметил)бензойных кислот ряда **4** и **5**, соответственно, приписано на основании как предыдущего опыта проведения конденсаций кислоты **1** с вицинальными енаминокислотами, так и данных спектральных исследований синтезированных веществ. При этом для сопоставления в табл. 2 и 3 приведены спектры ранее синтезированных хиназолинонов **10a–c**.

Соединения 4-оксо-3,4-дигидротиено[2,3-*d*]ряда были получены более 35 лет назад [3]. Было установлено, что 2-бензилзамещенные этой системы проявляют анальгетические и противовоспалительные свойства [4]. Однако изомерные структуры типа **5** до последнего времени не исследовались.

2-(4-Оксо-3,4-дигидротиено[2,3-*d*]- и -[3,2-*d*]пиридин-2-илметил)-бензойные кислоты ряда **4** и **5** подобно обычным аминокислотам проявляют амфотерные свойства: растворяются в 2 н. растворе щелочи и избирательно растворяются в 2 н. HCl (производные [2,3-*d*]ряда растворимы заметно лучше). В связи с этим этирификацию полученных аминокислот оказалась возможным осуществить лишь в присутствии триэтиламина взаимодействием соединений **4** и **5** с этилбромидом (в растворе ДМСО) или фенацилбромидом (в ацетонитриле) [5].



**4 a** R = R<sup>1</sup> = Me, **b** R + R<sup>1</sup> = (CH<sub>2</sub>)<sub>3</sub>, **c** R + R<sup>1</sup> = (CH<sub>2</sub>)<sub>4</sub>, **d** R = H, R<sup>1</sup> = Ph; **5 a** R = H, **b** R = 4'-ClC<sub>6</sub>H<sub>4</sub>, **c** R = 4'-FC<sub>6</sub>H<sub>4</sub>; **6 a** R = R<sup>1</sup> = Me, R<sup>2</sup> = Et, **b** R = R<sup>1</sup> = Me, R<sup>2</sup> = CH<sub>2</sub>COPh, **c** R + R<sup>1</sup> = (CH<sub>2</sub>)<sub>3</sub>, R<sup>2</sup> = Et, **d** R + R<sup>2</sup> = (CH<sub>2</sub>)<sub>3</sub>, R<sup>2</sup> = CH<sub>2</sub>COPh, **e** R + R<sup>1</sup> = (CH<sub>2</sub>)<sub>4</sub>, R<sup>2</sup> = Et, **f** R = R<sup>1</sup> = (CH<sub>2</sub>)<sub>4</sub>, R<sup>2</sup> = CH<sub>2</sub>COPh;  
**7 a** R<sup>3</sup> = Et, **b** R<sup>3</sup> = CH<sub>2</sub>COPh; **10 a** R = R<sup>1</sup> = H, **b** R = H, R<sup>1</sup> = Et, **c** R = Me, R<sup>1</sup> = Et

Каких либо различий в химическом поведении позиционных изомеров не отмечалось. С использованием стандартных методик [6] алкилирования по атому N-3 хиназолин-4-онов нами были получены и сложные эфиры **8** и **9** N-метилированных 2-(4-оксо-3,4-дигидротиено[2,3-*d*]- и -[3,2-*d*]пиридин-2-илметил)бензойных кислот.

Таблица 1  
Константы синтезированных соединений

Соединение	Брутто-формула	Найдено, %				Т. пл., °C*	Выход, %
		C	H	N	S		
<b>4a</b>	C <sub>16</sub> H <sub>14</sub> N <sub>2</sub> O <sub>3</sub> S	<u>61.21</u> 61.13	<u>4.38</u> 4.49	<u>8.76</u> 8.91	<u>10.12</u> 10.20	338	73
<b>4b</b>	C <sub>17</sub> H <sub>14</sub> N <sub>2</sub> O <sub>3</sub> S	<u>62.82</u> 62.56	<u>4.22</u> 4.32	<u>8.33</u> 8.58	<u>9.75</u> 9.83	333	85
<b>4c</b>	C <sub>18</sub> H <sub>16</sub> N <sub>2</sub> O <sub>3</sub> S	<u>63.60</u> 63.51	<u>4.61</u> 4.74	<u>8.13</u> 8.23	<u>9.33</u> 9.42	350	88
<b>4d</b>	C <sub>20</sub> H <sub>14</sub> N <sub>2</sub> O <sub>3</sub> S	<u>66.02</u> 66.29	<u>3.91</u> 3.89	<u>7.55</u> 7.73	<u>8.95</u> 8.85	290	90
<b>5a</b>	C <sub>14</sub> H <sub>10</sub> N <sub>2</sub> O <sub>3</sub> S	<u>58.93</u> 58.73	<u>3.63</u> 3.52	<u>9.52</u> 9.78	<u>11.08</u> 11.20	265	70
<b>5b</b>	C <sub>20</sub> H <sub>13</sub> ClN <sub>2</sub> O <sub>3</sub> S	<u>60.82</u> 60.53	<u>3.42</u> 3.30	<u>6.92</u> 7.06	<u>8.14</u> 8.08	290**	92
<b>5c</b>	C <sub>20</sub> H <sub>13</sub> FN <sub>2</sub> O <sub>3</sub> S	<u>63.12</u> 63.15	<u>3.30</u> 3.44	<u>7.13</u> 7.36	<u>8.24</u> 8.43	305**	90
<b>6a</b>	C <sub>18</sub> H <sub>18</sub> N <sub>2</sub> O <sub>3</sub> S	<u>63.41</u> 63.14	<u>5.41</u> 5.30	<u>8.35</u> 8.18	<u>9.55</u> 9.36	210	80
<b>6b</b>	C <sub>24</sub> H <sub>20</sub> N <sub>2</sub> O <sub>4</sub> S	<u>66.78</u> 66.65	<u>4.46</u> 4.66	<u>6.23</u> 6.48	<u>7.55</u> 7.41	240	92
<b>6c</b>	C <sub>19</sub> H <sub>18</sub> N <sub>2</sub> O <sub>3</sub> S	<u>64.62</u> 64.39	<u>5.01</u> 5.12	<u>7.76</u> 7.90	<u>9.20</u> 9.05	240	84
<b>6d</b>	C <sub>25</sub> H <sub>20</sub> N <sub>2</sub> O <sub>4</sub> S	<u>67.88</u> 67.55	<u>4.46</u> 4.53	<u>6.15</u> 6.30	<u>7.23</u> 7.21	245	88
<b>6e</b>	C <sub>20</sub> H <sub>20</sub> N <sub>2</sub> O <sub>3</sub> S	<u>65.62</u> 65.20	<u>5.36</u> 5.47	<u>7.58</u> 7.60	<u>8.84</u> 8.70	242	82
<b>6f</b>	C <sub>26</sub> H <sub>22</sub> N <sub>2</sub> O <sub>4</sub> S	<u>68.56</u> 68.10	<u>4.96</u> 4.84	<u>6.03</u> 6.11	<u>6.87</u> 6.99	245	90
<b>7a</b>	C <sub>16</sub> H <sub>14</sub> N <sub>2</sub> O <sub>3</sub> S	<u>61.79</u> 61.13	<u>4.63</u> 4.49	<u>9.04</u> 8.91	<u>10.45</u> 10.20	130	80
<b>7b</b>	C <sub>22</sub> H <sub>16</sub> N <sub>2</sub> O <sub>4</sub> S	<u>65.92</u> 65.33	<u>4.08</u> 3.99	<u>6.82</u> 6.93	<u>8.04</u> 7.93	200**	90
<b>8</b>	C <sub>19</sub> H <sub>20</sub> N <sub>2</sub> O <sub>3</sub> S	<u>63.91</u> 64.02	<u>5.57</u> 5.66	<u>7.78</u> 7.86	<u>9.14</u> 9.00	160	83
<b>9</b>	C <sub>17</sub> H <sub>16</sub> N <sub>2</sub> O <sub>3</sub> S	<u>61.52</u> 62.18	<u>4.86</u> 4.91	<u>8.68</u> 8.53	<u>9.92</u> 9.76	120	80

\* Растворитель: ДМФА (соединения **4a–d**, **6c**, **8**), НОAc (соединения **5a**, **7a**, **9**),  
ДМСО (соединения **6a,b**).

\*\* Температура превращения.

Таблица 2

Спектры ЯМР  $^1\text{H}$  синтезированных соединений

Соединение	Химические сдвиги, $\delta$ , м. д. ( $J$ , Гц)														
	Позиция резонирующей группы (атома)									COOR					
	3 (c)	5	6	7	H-1' (2H, c)	H-3' (1H, d)	H-4' (1H, t)	H-5' (1H, t)	H-6' (1H, t)	H (1H, c)	CH <sub>2</sub> CH <sub>3</sub>	1'' (2H, c)	2'' + 6'' (2H, d)	3''+ + 4''+ + 5'' (3H, m)	
1	2	3	4	5	6	7	8	9	10	11	12	13	14	15	
<b>4a</b>	12.16 (1H)	2.31 (3H, c)	2.37 (3H, c)	—	4.30	7.29 ( $^3J=7.2$ )	7.48 ( $^3J=7.2$ )	7.6 ( $^3J=7.6$ )	7.91 ( $^3J=7.6$ )	12.4	—	—	—	—	
<b>4b</b>	12.25 (1H)	2.91 (4H, m); 2.41 (2H, m)	—	—	4.31	7.29 ( $^3J=7.2$ )	7.48 ( $^3J=7.2$ )	7.35 ( $^3J=7.2$ )	7.93 ( $^3J=8.0$ )	12.69	—	—	—	—	
<b>4c</b>	12.20 (1H)	2.86 (2H, c); 2.69 (2H, c); 1.80 (4H, m)	—	—	4.35	7.29 ( $^3J=7.2$ )	7.49 ( $^3J=7.2$ )	7.36 ( $^3J=7.2$ )	7.91 ( $^3J=7.2$ )	12.69	—	—	—	—	
<b>4d</b>	12.34 (1H)	7.40– 7.30 (5H, m)	7.19 (1H, c)	—	4.38	7.53–7.49 (3H, m)	—	7.53– 7.49 (m)	7.96 ( $^3J=7.6$ )	12.79	—	—	—	—	
<b>5a</b>	12.35 (1H)	—	7.91 (d, $^3J=5.21$ )	7.16 (1H, d, $^3J=$ $= 5.61$ )	4.36	7.32 ( $^3J=7.6$ )	7.48 ( $^3J=7.6$ )	7.36 ( $^3J=7.6$ )	7.93 ( $^3J=7.2$ )	12.8	—	—	—	—	
<b>5b</b>	12.47 (1H)	—	7.73 (2H, d, $^3J=8.41$ , H-2',6'); 7.42 (2H, d, $^3J=8.41$ H-3',5')	7.60 (1H, c)	4.34	7.31 ( $^3J=7.6$ )	7.47 ( $^3J=7.2$ )	7.36 ( $^3J=7.6$ )	7.92 ( $^3J=7.6$ )	—*	—	—	—	—	

Окончание таблицы 2

1	2	3	4	5	6	7	8	9	10	11	12	13	14	15
<b>5c</b>	12.41 (1H)	—	7.76 (2H, д. д, <i>J</i> = 5.2, <i>J</i> = 3.6, H-2',6'); 7.17 (2H, т, <sup>3</sup> <i>J</i> = 8.6, H-3',5')	7.54 (1H, с)	4.35	7.31 ( <sup>3</sup> <i>J</i> = 7.6)	7.75 ( <sup>3</sup> <i>J</i> = 7.0)	7.35 ( <sup>3</sup> <i>J</i> = 7.6)	7.92 ( <sup>3</sup> <i>J</i> = 7.2)	—*	—	—	—	—
<b>10a</b>	12.1 (1H)	8.05 (1H, д, <sup>3</sup> <i>J</i> = 8.0)	7.37 (1H, т, <sup>3</sup> <i>J</i> = 8.0)	7.65 (1H, т, <sup>3</sup> <i>J</i> = = 7.6)**	4.33	7.32 ( <sup>3</sup> <i>J</i> = 8.0)	7.47 ( <sup>3</sup> <i>J</i> = 7.8)	7.36 ( <sup>3</sup> <i>J</i> = 8.0)	7.91 ( <sup>3</sup> <i>J</i> = 7.2)	12.7	—	—	—	—
<b>6a</b>	12.23 (1H)	2.30 (3H, с)	2.33 (3H, с)	—	4.29	7.32 ( <sup>3</sup> <i>J</i> = 7.6)	7.49 ( <sup>3</sup> <i>J</i> = 7.6)	7.36 ( <sup>3</sup> <i>J</i> = 7.6)	7.88 ( <sup>3</sup> <i>J</i> = 7.6)	—	4.20 (2H, к, <sup>3</sup> <i>J</i> = 7.2); 1.26 (3H, т, <sup>3</sup> <i>J</i> = 6.8)	—	—	—
<b>6b</b>	12.17 (1H, с)	2.33(3H, с)	2.37 (3H, с)	—	4.31	7.35 ( <sup>3</sup> <i>J</i> = 8.0)	7.64 ( <sup>3</sup> <i>J</i> = 7.6)	7.44 ( <sup>3</sup> <i>J</i> = 7.2)	8.09 ( <sup>3</sup> <i>J</i> = 8.0)	—	—	5.59	7.97 ( <sup>3</sup> <i>J</i> = 8.4)	—
<b>6c</b>	12.32 (1H, с)	2.90 (4H, м); 2.40 (2H, м)	—	4.28	7.33 ( <sup>3</sup> <i>J</i> = 7.6)	7.50 ( <sup>3</sup> <i>J</i> = 7.2)	7.37 ( <sup>3</sup> <i>J</i> = 7.6)	7.89 ( <sup>3</sup> <i>J</i> = 7.6)	—	4.20 (2H, к, <sup>3</sup> <i>J</i> = 7.2) 1.26 (3H, т, <sup>3</sup> <i>J</i> = 7.2)	—	—	—	—
<b>6d</b>	12.29 (1H)	2.87–2.93 (4H, м); 2.41 (2H, т, <sup>3</sup> <i>J</i> = 7.2)	—	4.33	7.36 ( <sup>3</sup> <i>J</i> = 7.6)	7.65 ( <sup>3</sup> <i>J</i> = 7.2)	7.45 ( <sup>3</sup> <i>J</i> = 7.6)	8.10 ( <sup>3</sup> <i>J</i> = 7.6)	—	—	5.59	7.97 ( <sup>3</sup> <i>J</i> = 7.2)	—	—
<b>6e</b>	12.21 (1H)	2.87 (2H, уш. с); 2.69 (2H, уш. с); 1.80 (4H, уш. с)	—	4.27	7.32 ( <sup>3</sup> <i>J</i> = 7.2)	7.50 ( <sup>3</sup> <i>J</i> = 7.2)	7.37 ( <sup>3</sup> <i>J</i> = 7.6)	7.88 ( <sup>3</sup> <i>J</i> = 7.2)	—	4.20 (2H, к, <sup>3</sup> <i>J</i> = 6.8); 1.27 (3H, т, <sup>3</sup> <i>J</i> = 7.2)	—	—	—	—
<b>6f</b>	12.20 (1H)	2.89 (2H, уш. с); 2.71 (2H, уш. с); 1.80 (4H, м)	—	4.32	7.36 ( <sup>3</sup> <i>J</i> = 7.6)	7.45 ( <sup>3</sup> <i>J</i> = 7.6)	7.66 ( <sup>3</sup> <i>J</i> = 7.2)	8.09 ( <sup>3</sup> <i>J</i> = 8.0)	—	—	5.60	7.98	7.59 — 7.52	—

<b>7a</b>	12.41 (1H)	–	7.90 (д, $^3J = 5.2$ )	7.12 (д, $^3J = 5.2$ )	4.34	7.35 ( $^3J = 7.6$ )	7.51 ( $^3J = 7.6$ )	7.38 ( $^3J = 7.2$ )	7.91 ( $^3J = 7.2$ )	–	4.22 (2H, к, $^3J = 6.8$ ); 1.27 (3H, т, $^3J = 6.8$ )	–	–	–
<b>7b</b>	12.39 (1H)	–	7.93 (д, $^3J = 5.2$ )	7.16 (д, $^3J = 5.2$ )	4.37	7.37 ( $^3J = 8.0$ )	7.64 ( $^3J = 7.2$ )	7.45 ( $^3J = 7.6$ )	8.10 ( $^3J = 7.6$ )	–	–	5.60	7.97	7.57 – 7.50
<b>10b</b>	12.22 (1H)	8.07 (1H, д, $^3J = 8.0$ )	7.44 (1H, т, $^3J = 6.8$ )	7.70 (1H, т, $^3J =$ $= 6.8$ )***	4.31	7.39 ( $^3J = 8.4$ )	7.44 ( $^3J = 6.8$ )	7.44 ( $^3J = 6.8$ )	7.88 ( $^3J = 6.8$ )	–	4.19 (2H, к, $^3J = 7.2$ ); 1.24 (3H, т, $^3J = 7.2$ )	–	–	–
<b>8</b>	3.56 (3H)	2.33 (3H, с)	2.40 (3H, с)	–	4.52	7.27 ( $^3J = 7.6$ )	7.52 ( $^3J = 7.2$ )	7.40 ( $^3J = 7.6$ )	7.96 ( $^3J = 7.6$ )	–	4.16 (2H, к, $^3J = 6.8$ ); 1.27 (3H, т, $^3J = 6.8$ )	–	–	–
<b>9</b>	3.65 (3H)	–	7.92 (д, $^3J = 4.8$ )	7.09 (д, $^3J = 4.8$ )	4.58	7.30 ( $^3J = 7.2$ )	7.53 ( $^3J = 7.2$ )	7.41 ( $^3J = 7.2$ )	7.98 ( $^3J = 7.6$ )	–	4.18 (2H, к, $^3J = 6.8$ ); 1.21 (3H, т, $^3J = 6.8$ )	–	–	–
<b>10c</b>	3.60 (3H)	8.09 (1H, д, $^3J = 7.6$ )	7.39 (1H, т, $^3J = 7.6$ )	7.64 (1H, т, $^3J =$ $= 7.6$ )* <sup>4</sup>	4.57	7.33 ( $^3J = 8.4$ )	7.52 ( $^3J = 7.2$ )	7.39 ( $^3J = 7.6$ )	7.95 ( $^3J = 8.0$ )	–	4.14 (2H, к, $^3J = 6.8$ ); 1.16 (3H, т, $^3J = 6.8$ )	–	–	–

\* Протон в процессе съемки подвергся обмену.

\*\* 7.42 м. д. (1H, д,  $^3J = 8.0$ , H-8).

\*\*\* 7.39 м. д. (1H, д,  $J = 8.4$ , H-8).

\*<sup>4</sup> 7.30 м. д. (1H, д,  $J = 6.8$ , H-8).

Сравнение спектров ЯМР  $^1\text{H}$  кислот строения **4** и **5** (табл. 2) показывает, что протонсодержащие группы *o*-карбоксибензильного заместителя практически не реагируют на изменение положения атома серы в бициклической системе. Резонанс группы  $1'\text{-CH}_2$ , протонов в положениях  $3',4',5',6'$  наблюдается по сути при стандартной частоте с минимальными колебаниями в 0.03 м. д. в ту или иную сторону. То же самое можем сказать, сравнив спектры ЯМР  $^1\text{H}$  как сложных эфиров **6a–f** и **7a,b**, так и N-метилированных соединений **8** и **9**.

В ИК спектрах карбоновых кислот **4** и **5** (табл. 3) в области 3200–2500  $\text{cm}^{-1}$  присутствует широкая полоса поглощения, часто с несколькими максимумами. Эта полоса возникает, по крайней мере частично, из-за поглощения димеров кислот и относится к валентным колебаниям связей O–H. Из массива полос в этой области можно выделить участок 2700–2500  $\text{cm}^{-1}$ , относящийся к валентным колебаниям связанной группы OH карбоксила. Рассматриваемой межмолекулярной ассоциации ассициирует и внутримолекулярная, оказывающая решающее. Экстремальное понижение частоты валентных колебаний карбонильной группы (от группы COOH) до значений

Таблица 3  
ИК и масс-спектры

Соединение	ИК спектр, $\nu$ , $\text{cm}^{-1}$						Масс-спектр, $m/z$ [ $\text{M}^+ + 1$ ] (I 100%)*
	C–O	C–C–O	C=N	C=O (пирам.)	C=O (карб.)	C=O (фенац.)	
<b>4a</b>	1274	—	1594	1665	—	—	315/314
<b>4b</b>	1274	—	1594	1664	—	—	327/326
<b>4c</b>	1271	—	1592	1671	—	—	
<b>4d</b>	—	—	1592	1664	1712	—	
<b>5a</b>	1268	—	1599	1664	1705	—	287/286
<b>5b</b>	—	—	1598	1687	—	—	
<b>5c</b>	1270	—	1597	1683	—	—	
<b>10a</b>	1250	—	1600	1670	1710	—	
<b>6a</b>	1263	1081	1595	1653	1711	—	343/342
<b>6b</b>	—	1090	1593	1667	1692**	1723	
<b>6c</b>	1260	1081	1592	1664	1710	—	355/354
<b>6d</b>	1267	1092	1595	1671	1699	1723	
<b>6e</b>	1257	1070	1590	1671	1721	—	369/368
<b>6f</b>	1269	1093	1594	1670	1695	1712	
<b>7a</b>	1268	1079	1600	1666	1708	—	315/314
<b>7b</b>	1278	1095	1595	1654	1692	1724	
<b>10b</b>	1260	1078	1608	1670	1710	—	
<b>8</b>	1258	1080	1551	1676	1704	—	
<b>9</b>	1270	1081	1564	1668	1705	—	
<b>10c</b>	1265	1085	1595	1670	1700	—	

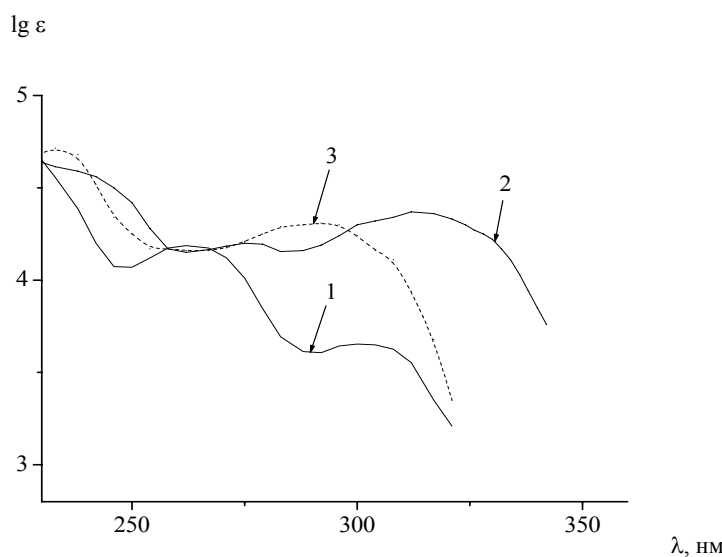
\* Самый интенсивный пик спектра.

\*\* Перегиб.

$1664\text{ cm}^{-1}$  является прямым отражением этого эффекта. При этом полоса карбонильного поглощения карбоксильной группы налагается на валентные колебания карбонильной группы пиримидин-4-онового фрагмента, причем последняя также является активным участником ассоциации.

Карбонильное поглощение пиримидин-4-онового фрагмента как участника более сложных структурных комбинаций исследовалось в классических работах Брауна [7] и хорошо табулировано [8]. В то же время у карбоновых кислот **4d** и **5a** смещение полосы  $\nu_{C=O}$  (от COOH, вблизи  $1710\text{ cm}^{-1}$ ) есть, но оно не столь значительно. При этом карбонильное поглощение пиримидин-4-онового фрагмента сохраняет свое положение вблизи  $1670\text{ cm}^{-1}$ . Мы связываем первое отличие с влиянием фенильного заместителя при атоме C-5 системы на эффективность водородной связи с участием карбонила при C-4, а второе – с электронными влияниями на тот же центр, обусловленными гетероатомом в соседней позиции. При переходе к сложным эфирам строения **6–9** картина в области карбонильного поглощения упрощается. Во всех случаях наблюдаются индивидуальные полосы для  $\nu_{C=O}$  (от COOR) и  $\nu_{C=O}$  (от пиримидин-4-онового фрагмента), а в случае появления фенацильного заместителя – и  $\nu_{C=O}$  от кетонного карбонила. Несмотря на столь поразительно низкое значение  $\nu_{C=O}$ , особенно что касается эфиров строения **6–9**, эти данные согласуются с табулированными частотами  $\nu_{C=O}$  для хиназолонов-4 [9]. Для всех этиловых эфиров наблюдаются как интенсивная "спиртовая" полоса валентных колебаний фрагмента O–C–C вблизи  $1070\text{--}1080\text{ cm}^{-1}$ , так и "кислотная" (фрагмент C–(C=O)–O) вблизи  $1260\text{ cm}^{-1}$ .

Электронные спектры карбоновых кислот тиофенового ряда **4** и **5** отличаются от спектра кислоты **10a** не столько числом полос поглощения, сколько распределением интенсивности в их пределах (см. рисунок).



УФ спектры карбоновых кислот  $\lambda$ , нм ( $\lg \epsilon$ ): 1 – кислота **10a**: 261 (4.19), 268\*, 300 (3.65), 308 (3.62); 2 – кислота **4a**: 237 (4.59); 247\*, 275 (4.20), 302 (4.31), 314 (4.36), 327\*; 3 – кислота **5a**: 234 (4.71), 285 (4.30), 296 (4.31), 305\*. \* Перегиб.

Если у кислоты **10a** в анализируемой области наблюдаются три четкие полосы разной интенсивности и два минимума, то контур кислот **4** и **5** более сложен и просматриваемые максимумы и минимумы не столь контрастны (см. рисунок). Принципиальным моментом с точки зрения анализа различий позиционных изомеров является батохромный сдвиг в  $\approx 20$  нм поглощения у производных [2,3-*d*]ряда по сравнению как со своими позиционными изомерами [3,2-*d*]ряда, так и хиназолоном-4 (**10a**)  $\approx 15$  нм. Спектры сложных эфиров строения **6** и **7** мало отличаются от спектров соответствующих кислот **4** и **5**. Алкилирование по атому N-3 (эфиры **8** и **9**) также не изменяет распределения электронной плотности в сложных эфирах строения **6** и **7**, что отражает подобие их УФ спектров.

## ЭКСПЕРИМЕНТАЛЬНАЯ ЧАСТЬ

ИК спектры соединений в таблетках CsI или KBr зарегистрированы на приборе Pay-Unicam SP3-300 и Nicolett Nexus. Спектры ЯМР  $^1\text{H}$  растворов в ДМСО-*d*<sub>6</sub> получены на приборе Varian Mercury 400 (400 МГц), внутренний стандарт ТМС. УФ спектры  $5 \cdot 10^{-5}$  М растворов соединений зарегистрированы в метаноле на спектрофотометре Specord M-40. Масс-спектры измерены на масс-спектрометре Agilent 1100 Series, с селективным детектором Agilent LC/MSD SL, образец вводится в матрице трифтормукусной кислоты, ионизация ЭУ,  $[\text{M}^++1]$  – пик молекулярного иона. Температуры плавления синтезированных веществ измерены в пирексовых капиллярах в приборе Тиле и подвергались коррекции.

**2-Цианометилбензойная кислота (1)** получена по методике [10].

**Соединения 3b** и **3c** были получены от фирмы Aldrich, соединения **2a–d** получены по методу [12].

**Метиловый эфир 3-амино-2-тиофенкарбоновой кислоты (3a)** получен с т. пл. 65 °C по методике [11].

**2-(4-Оксо-3,4-дигидротиено[2,3-*d*]пиrimидин-2-илметил)бензойные кислоты 4a–d** и **2-(4-оксо-3,4-дигидротиено[3,2-*d*]пиrimидин-2-илметил)бензойные кислоты 5a–c** (общая методика). Смесь 10 ммоль 2-цианометилбензойной кислоты (1) и 20 ммоль соответствующего аминоэфира **2** или **3** в 5 мл хлорбензола кипятят при перемешивании 10 мин, удаляют растворитель в вакууме, к остатку приливают 40 мл 1,4-диоксана и кипятят 2 ч с обратным холодильником. Осадок отфильтровывают и промывают диэтиловым эфиром.

**Этиловые эфиры 6a,c,e, 7a** (общая методика). Растворяют 1 ммоль соответствующих тиенопирамидинов **4a,c,e** или **5a** в кипящем ДМСО, полученный раствор охлаждают и по каплям при перемешивании прибавляют по 0.1 мл (1.5 ммоль) триэтиламина и 0.15 мл (1.5 ммоль) этилиодида. После стояния в течение 1 сут, раствор разбавляют водой, выпадающий при этом осадок отфильтровывают и промывают последовательно насыщенным раствором гидрокарбоната натрия, водой и диэтиловым эфиром.

**Фенациловые эфиры (6b,d,f, 7b)** (общая методика). К суспензии 3 ммоль соответствующих кислот **4a–c** или **5a** в 5 мл ацетонитрила приливают 0.2 мл (3 ммоль) триэтиламина и прибавляют при перемешивании раствор 3 ммоль фенацилбромида в 2 мл ацетонитрила. После стояния в течение 1 сут раствор разбавляют водой, выпавший при этом осадок отфильтровывают и промывают последовательно насыщенным раствором гидрокарбоната натрия, водой и диэтиловым эфиром.

**3,5,6-Триметил-4-оксо-2-(2-этоксикарбонилбензил)-3,4-дигидротиено[2,3-*d*]-пиридин (8) и 3-метил-4-оксо-2-(2-этоксикарбонилбензил)-3,4-дигидротиено[3,2-*d*]пиридин (9)** (общая методика). Растворяют 1 ммоль соответствующего этилового эфира в кипящем ДМСО. Полученный раствор охлаждают, добавляют 0.14 г (1 ммоль) свежепрокаленного поташа и 0.08 мл (1 ммоль) метилиодида. После стояния в течение 1 сут раствор разбавляют водой, выпавший при этом осадок отфильтровывают и промывают водой.

#### СПИСОК ЛИТЕРАТУРЫ

1. В. А. Ковтуненко, Т. Т. Кучеренко, О. В. Шишкін, В. М. Кисель, *XTC*, 1408 (2002). [*Chem. Heterocycl. Comp.*, **38**, 1242 (2002)].
2. В. А. Ковтуненко, Т. Т. Кучеренко, Р. И. Зубатюк, О. В. Шишкін, Д. А. Ющенко, *XTC*, 1532 (2007). [*Chem. Heterocycl. Comp.*, **43**, 1301 (2007)].
3. W. Ried, R. Gieße, *Liebigs Ann. Chem.*, **713**, 143 (1968).
4. M. Perrassin, M. Favre, C. L. Duc, F. Huguet, C. Gaultier, G. Narcisse, *Eur. J. Med. Chem. Chim. Ther.*, **23**, 453 (1988).
5. В. А. Ковтуненко, З. В. Войтенко, В. Л. Шептун, А. К. Тылтин, А. И. Чернега, Ю. Т. Стручков, Ф. С. Бабичев, *XTC*, 1497 (1984). [*Chem. Heterocycl. Comp.*, **20**, 1235 (1984)].
6. J. S. Aggarwal, R. S. Das, J. N. N. Ray, *J. Indian Chem. Soc.*, **6**, 717 (1929); *Chem. Abstr.*, **24**, 1113<sup>1</sup> (1930).
7. D. J. Brown, E. Hoerger, S. F. Mason, *J. Chem. Soc.*, 211 (1955).
8. H. Culbertson, J. C. Decius, B. E. Christensen, *J. Am. Chem. Soc.*, **74**, 4834 (1952).
9. Л. Беллами, *Новые данные по ИК спектрам сложных молекул*, Мир, Москва, 1971, с. 175.
10. C. C. Price, R. G. Rogers, в кн. *Синтезы органических препаратов*, Изд-во иностр. лит., Москва, 1952, т. 3, с. 267.
11. Farbwerke Hoechst Akt. Ges., Brit. 837 086 (1960); *Chem. Abstr.*, **54**, 24798 (1960).
12. K. Gewald, E. Schinke, H. Böttcher, *Chem. Ber.*, **99**, 94 (1966).

Киевский национальный университет,  
им. Тараса Шевченко, Киев 01033, Украина  
e-mail: vkovtunenko@univ.kiev.ua

Поступило 17.07.2006  
После доработки 18.04.2007